

## 参考文献

- (1) R.Saliger, Der Eisenbeton, 1925年 101頁
- (2) 谷口忠, 外2名, 高熱を受けたるモルタル, コンクリート及び鉄筋コンクリートの強度に関する研究  
建築学会論文集, 昭和10年4月
- (3) 材料研究会編, 工業材料便覧, 昭和19年 569頁
- (4) 内田祥文, 建築と火災, 昭和17年 90頁
- (5) 谷口忠, 外1名, 火熱せられる鉄筋コンクリート版及び構体の表面温度並にその温度傳導に関する研究,  
建築学会論文集, 第13号 昭和14年4月

## 軌道の横強度理論(I)

正員 佐藤裕\*

ON THE LATERAL STRENGTH OF THE  
RAILWAY TRACK*Yutaka Sato, C. E. Member*

**Synopsis;** When the lateral wheel pressure acts on the track, it produces lateral bending and torsion in the rail. In the lateral bending, the author clarified that the action of the lateral pressure on the track had the tendency highly concentrating near the acting point, and determined the condition producing the rapid course deflection of the track. In the torsion, he determined the limiting lateral pressure by which the dog-spike yields up from the cross-tie. Discussion was made about the dynamical property of rail torsion. Further calculation was made about the deformation and he compared it with the simpler one.

## 梗概

車輪横圧によつて軌道に生ずる変形は軌条の横方向の撓みと捩れである。軌条の横撓みでは道床の dilatancy によつて横圧がその作用点に集中して働く傾向が大であることを示し、急速な軌道通り狂いの発生する条件を求めめた。軌条の捩れでは各犬釘に働く力の割合を考え犬釘が抜け出す条件を求めた。次に動的横圧による軌条捩れ振動を解き列車の実用速度の範囲では共振や波動が生じないことを示した。更に変形についての詳しい解法を行つて近似解法によるものと比較した。

## 目 次

I 緒言	
II 静的强度	
1. 軌条の横撓み	2. 軌条の捩れ
III 動的强度	
1. 定常状態	2. 衝撃による過渡状態
IV 軌条捩れに対する頭底部撓みの影響	
1. 兩端固定軌条の捩れ	2. 軌条支承體横變位係数が一定値である軌条の捩れ
V 結言	

## I 緒言

従来、軌道は車輛の横圧に対して何等強度不足のないものとされて、専ら輪重に対する強度のみを云々してきた。ところが国鉄に於ては十数年前から原因不明の途中脱線事故が続発し、その状況は車輛の蛇行動によつて、軌道が横方向に破壊されたらしい形跡が認められた。此の種的重大事故原因を究明するためには軌道の横強度を検討することが急務となつた。ところがこれについては詳しく取扱われた例がないので先づ基礎理論から組立てることが必要となつた。

今図-1(次頁)に示すように輪重  $W$  と横圧  $H$  が働くとき、軌条底は犬釘で押さえられているから変形は  $H$  による軌条横撓みと  $M$  による捩れとに分けられる。

\* 日本国鉄道 鉄道技術研究所 軌道研究室

## II 静的强度

### 1 軌条の横撓み

こゝでは急速な軌道通り狂いの発生条件を求める。輪重による軌条撓みを論ずる際は枕木を支点とする連続梁とし、且各支点は同一の弾性を持つとして取扱う。ところが横圧の場合は、支点としての枕木は実験的に次の性質があることが判つた。即ち敷設されている枕木一丁を犬釘を抜いて軌条から離し、軌条位置に一定の圧力を加えながら横に引張つて変位を測ると図-2の如くなる。此の実験から道床も所謂粒体の dilatancy といふ性質があることが判る。即ち支点の横方向の性質は次の如くである。

- i) 枕木は横方向にも彈性的な抵抗をうける。
- ii) 支点の横弾性は上からの圧力が大きいと強くなる。
- iii) 横からの力が或る限度を越すと枕木は滑動する。

軌道上の横圧分布は作用点に集中する傾向が大きいのは軌条の横方向の断面2次能率が小さいことも一つの原因であるが、支点枕木の上記性質が大きい原因となる。

枕木が滑動しない範囲では横弾性を大体一定であるとして、 $k_i$  を「軌条支承体横変位係数」と名付ける。又図-3で  $k_i$  と  $P_i$  が比例するときの係数を  $\varepsilon$  とすれば

$$k_i = \varepsilon P_i \quad \dots \dots \dots (1)$$

輪重に対して軌条圧力が正でない支点では横弾性は零になる故、その先は無視して軌条横撓みを取扱う。従つて軌道係数の値如何によつて、枕木2丁～9丁までの算式を夫々使う。軌条横変位、横圧力、曲ゲモーメントは3連モーメントの式から求められる。図-4の符号によつて

$$M_{n-1} + 4M_n + M_{n+1} = -\frac{6EJ_0}{a^2}(z_{n-1} - 2z_n + z_{n+1}) - W_n a(\alpha_n - 3\alpha_n^2 + \alpha_n^3) \\ - W_{n-1} a(\alpha_{n-1} - \alpha_{n-1}^2) \dots \dots \dots (2)$$

輪重  $W$  に対する軌条圧力は堀越博士の理論によつて

$$P_i = f_I(\gamma_i)W \quad W \text{が枕木上}$$

$$P_i = F_I(\gamma_i)W \quad W \text{が枕木中間} \quad i=1, 2, 3, \dots \dots$$

但し  $\gamma = \frac{6EJ_0}{a^3 D}$  : 軌道係数  $E$ : 軌条のヤング率  
 $J_0$ : 軌条断面2次能率  $D$ : 軌条支承体沈下係数

(1) 式から軌条支承体横変位係数は

$$k_i = \varepsilon f_{I,i} W \quad W \text{ (従つて } H \text{ )} \text{ が枕木上} \quad \left. \begin{array}{l} k_i = \varepsilon F_{I,i} W \quad W \text{ が枕木中間} \end{array} \right\} \quad i=1, 2, 3, \dots \dots \dots (3)$$

今  $\gamma_H = \frac{\varepsilon}{\beta} = \frac{a^3 \varepsilon}{6EI_y}$ ,

但し  $\beta = \frac{6EI_y}{a^3}$ ,  $I_y$ : 鉛直軸

周りの断面2次能率,  $M_n$  を、「軌道第2係数」と呼び、  
 $\gamma$  を軌道第1係数とする。

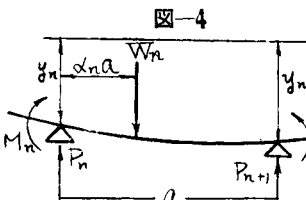


図-4

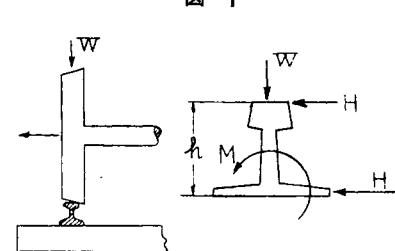


図-1

図-2

枕木引張試験

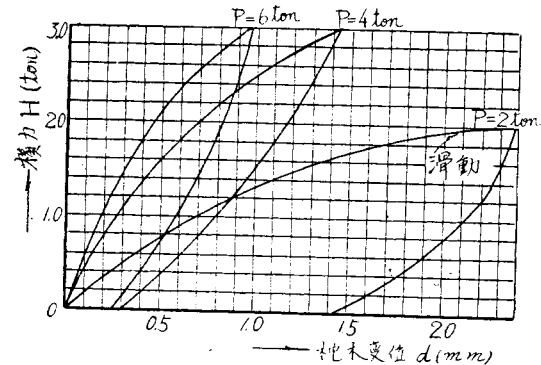
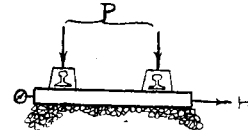


図-3

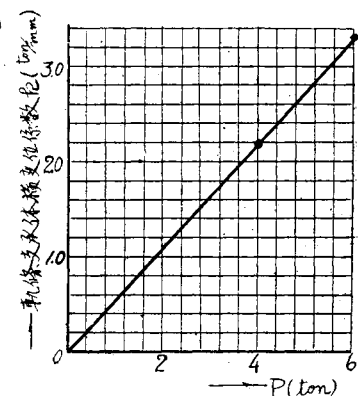


図-5

枕木番号	軌道支承体横変位係数	横変位	横圧力	曲ゲモーメント	荷重Wに対する軌道圧力
4	$f_{4,1}$	$Z_{4,1}$	$R_{4,1}$	$M_{4,1}$	$P_{4,1}$
3	$f_{3,1}$	$Z_{3,1}$	$R_{3,1}$	$M_{3,1}$	$P_{3,1}$
2	$f_{2,1}$	$Z_{2,1}$	$R_{2,1}$	$M_{2,1}$	$P_{2,1}$
1	$f_{1,1}$	$Z_{1,1}$	$R_{1,1}$	$M_{1,1}$	$P_{1,1}$
2	$f_{2,2}$	$Z_{2,2}$	$R_{2,2}$	$M_{2,2}$	$P_{2,2}$
3	$f_{3,2}$	$Z_{3,2}$	$R_{3,2}$	$M_{3,2}$	$P_{3,2}$
4	$f_{4,2}$	$Z_{4,2}$	$R_{4,2}$	$M_{4,2}$	$P_{4,2}$
1	$f_{1,2}$	$Z_{1,2}$	$R_{1,2}$	$M_{1,2}$	$P_{1,2}$
2	$f_{2,3}$	$Z_{2,3}$	$R_{2,3}$	$M_{2,3}$	$P_{2,3}$
3	$f_{3,3}$	$Z_{3,3}$	$R_{3,3}$	$M_{3,3}$	$P_{3,3}$
4	$f_{4,3}$	$Z_{4,3}$	$R_{4,3}$	$M_{4,3}$	$P_{4,3}$
1	$f_{1,3}$	$Z_{1,3}$	$R_{1,3}$	$M_{1,3}$	$P_{1,3}$
2	$f_{2,4}$	$Z_{2,4}$	$R_{2,4}$	$M_{2,4}$	$P_{2,4}$
3	$f_{3,4}$	$Z_{3,4}$	$R_{3,4}$	$M_{3,4}$	$P_{3,4}$
4	$f_{4,4}$	$Z_{4,4}$	$R_{4,4}$	$M_{4,4}$	$P_{4,4}$

1) 横圧  $H$  が枕木位置に働くときの算式: 符号は図-5 に示す。解法は論文<sup>(1)</sup>と類似的に  $R_i = k_i z_i$  を用いて行う。簡単のため  $f_I(\gamma)_i$  を  $f_i$  とし  $k_i, k_j, k_e \dots$  を  $k_{i,e} \dots$  と書く。

枕木 3丁  $\gamma = 0.1 \sim 0.7$  のとき

$$R_1 = \varphi_{11}H, \quad R_2 = \varphi_{12}H \quad \dots \quad (5)$$

$$\varphi_{11} = k_1(2k_2 + \beta)/\Delta_1 = (g_{11} + g_{12}\gamma_H W)/\Delta_1$$

$$\varphi_{12} = k_2\beta/\Delta_1 = g_{21}/\Delta_1$$

$$\Delta_1 = 2k_{12} + \beta(k_1 + 2k_2) = g_{01} + g_{02}\gamma W_H$$

$$g_{11} = f_1, \quad g_{12} = 2f_1 f_2, \quad g_{21} = f_2, \quad g_{01} = f_1 + 2f_2, \quad g_{02} = 2f_1 f_2$$

枕木 5丁  $\gamma = 0.8 \sim 3$  のとき

$$R_1 = \varphi_{11}H, \quad R_2 = \varphi_{12}H, \quad R_3 = \varphi_{13}H \quad \dots \quad (6)$$

$$\varphi_{11} = k_1[7k_{23} + \beta(2k_2 + 16k_3) + \beta^2]/\Delta_1 = (g_{11} + g_{12}\gamma_H W + g_{13}\overline{\gamma_H W})/\Delta_1$$

$$\varphi_{12} = k_2(11k_3 + \beta)\beta/\Delta_1 = (g_{21} + g_{22}\gamma_H W)/\Delta_1$$

$$\varphi_{13} = k_3(-3k_2 + \beta)\beta/\Delta_1 = (g_{31} + g_{32}\gamma_H W)/\Delta_1$$

$$\Delta_1 = 7k_{123} + \beta(2k_{12} + 16k_{13} + 16k_{23}) + \beta^2(k_1 + 2k_2 + 2k_3) \\ = g_{01} + g_{02}\gamma_H W + g_{03}\overline{\gamma_H W}$$

$$g_{11} = f_1, \quad g_{12} = f_1(2f_2 + 16f_3), \quad g_{13} = 7f_1 f_2 f_3$$

$$g_{21} = f_2, \quad g_{22} = 11f_2 f_3, \quad g_{31} = f_3, \quad g_{32} = -3f_2 f_3$$

$$g_{01} = f_1 + 2f_2 + 2f_3, \quad g_{02} = 2f_1 f_2 + 16f_1 f_3 + 16f_2 f_3, \quad g_{03} = 7f_1 f_2 f_3$$

枕木 7丁  $\gamma = 4 \sim 11$

$$R_1 = \varphi_{11}H, \quad R_2 = \varphi_{12}H, \quad R_3 = \varphi_{13}H, \quad R_4 = \varphi_{14}H \quad \dots \quad (7)$$

$$\varphi_{11} = k_1[26k_{234} + \beta(7k_{23} + 44k_{24} + 80k_{34}) + \beta^2(2k_2 + 16k_3 + 54k_4) + \beta^3]/\Delta_1 \\ = (g_{11} + g_{12}\gamma_H W + g_{13}\overline{\gamma_H W} + g_{14}\overline{\gamma_H W})/\Delta_1$$

$$\varphi_{12} = k_2[46k_{34} + \beta(11k_3 + 46k_4) + \beta^2]\beta/\Delta_1 = (g_{21} + g_{22}\gamma_H W + g_{23}\overline{\gamma_H W})/\Delta_1$$

$$\varphi_{13} = k_3[-18k_{24} + \beta(-3k_2 + 26k_4) + \beta^2]\beta/\Delta_1 = (g_{31} + g_{32}\gamma_H W + g_{33}\overline{\gamma_H W})/\Delta_1$$

$$\varphi_{14} = k_4[3k_{23} + \beta(-6k_2 - 12k_3) + \beta^2]\beta/\Delta_1 = (g_{41} + g_{42}\gamma_H W + g_{43}\overline{\gamma_H W})/\Delta_1$$

$$\Delta_1 = 26k_{1234} + \beta(7k_{123} + 44k_{124} + 80k_{134} + 62k_{234}) + \beta^2(2k_{12} + 16k_{13} + 54k_{14} + 16k_{23} + 80k_{24} + 28k_{34}) + \beta^3(k_1 + 2k_2 + 2k_3 + 2k_4) \\ = g_{01} + g_{02}\gamma_H W + g_{03}\overline{\gamma_H W} + g_{04}\overline{\gamma_H W}$$

$$g_{11} = f_1, \quad g_{12} = f_1(2f_2 + 16f_3 + 54f_4), \quad g_{13} = f_1(7f_2 f_3 + 44f_2 f_4 + 80f_3 f_4), \quad g_{14} = 26f_1 f_2 f_3 f_4$$

$$g_{21} = f_2, \quad g_{22} = f_2(11f_3 + 46f_4), \quad g_{23} = 46f_2 f_3 f_4,$$

$$g_{31} = f_3, \quad g_{32} = f_3(-3f_2 + 26f_4), \quad g_{33} = -18f_2 f_3 f_4,$$

$$g_{41} = f_4, \quad g_{42} = f_4(-6f_2 - 12f_3), \quad g_{43} = 3f_2 f_3 f_4$$

$$g_{01} = f_1 + 2f_2 + 2f_3 + 2f_4, \quad g_{02} = 2f_1 f_2 + 16f_1 f_3 + 54f_1 f_4 + 16f_2 f_3 + 80f_2 f_4 + 28f_3 f_4$$

$$g_{03} = 7f_1 f_2 f_3 + 44f_1 f_2 f_4 + 80f_1 f_3 f_4 + 62f_2 f_3 f_4, \quad g_{04} = 26f_1 f_2 f_3 f_4$$

枕木 9丁  $\gamma = 12 \sim 15$  のとき

$$R_1 = \varphi_{11}H, \quad R_2 = \varphi_{12}H, \quad R_3 = \varphi_{13}H, \quad R_4 = \varphi_{14}H, \quad R_5 = \varphi_{15}H \quad \dots \quad (8)$$

$$\varphi_{11} = k_1[97k_{2345} + \beta(26k_{234} + 160k_{235} + 232k_{245} + 304k_{345}) + \beta^2(7k_{23} + 44k_{24} + 135k_{25} + 80k_{34} + 448k_{35} + 351k_{45}) + \beta^3(2k_2 + 16k_3 + 54k_4 + 128k_5) + \beta^4]/\Delta_1 \\ = (g_{11} + g_{12}\gamma_H W + g_{13}\overline{\gamma_H W} + g_{14}\overline{\gamma_H W} + g_{15}\overline{\gamma_H W})/\Delta_1$$

$$\varphi_{12} = k_2[173k_{345} + \beta(46k_{34} + 272k_{35} + 222k_{45}) + \beta^2(11k_3 - 46k_4 - 57k_5) + \beta^3]\beta/\Delta_1 \\ = (g_{21} + g_{22}\gamma_H W + g_{23}\overline{\gamma_H W} + g_{24}\overline{\gamma_H W})/\Delta_1$$

$$\varphi_{13} = k_3[-72k_{245} + \beta(-18k_{24} - 90k_{25} + 115k_{45}) + \beta^2(-3k_2 + 26k_4 + 88k_5) + \beta^3]\beta/\Delta_1 \\ = (g_{31} + g_{32}\gamma_H W + g_{33}\overline{\gamma_H W} + g_{34}\overline{\gamma_H W})/\Delta_1$$

$$\varphi_{14} = k_4[18k_{234} + \beta(3k_{23} - 72k_{25} - 72k_{35}) + \beta^2(-6k_2 - 12k_3 + 47k_5) + \beta^3]\beta/\Delta_1 \\ = (g_{41} + g_{42}\gamma_H W + g_{43}\overline{\gamma_H W} + g_{44}\overline{\gamma_H W})/\Delta_1$$

$$\varphi_{15} = k_5[-3k_{234} + \beta(6k_{23} + 24k_{24} + 12k_{34}) + \beta^2(-9k_2 - 24k_3 - 27k_4) + \beta^3]\beta/\Delta_1 \\ = (g_{51} + g_{52}\gamma_H W + g_{53}\overline{\gamma_H W} + g_{54}\overline{\gamma_H W})/\Delta_1$$

$$\begin{aligned}
A_1 &= 97k_{12345} + \beta(26k_{1234} + 160k_{1235} + 232k_{1245} + 304k_{1345} + 184k_{2345}) + \beta^2(7k_{123} + 44k_{124} + 135k_{125} + 80k_{134} + 448k_{135} \\
&\quad + 351k_{145} + 62k_{234} + 472k_{235} + 544k_{245} + 110k_{345}) + \beta^3(2k_{12} + 16k_{13} + 54k_{14} + 128k_{15} + 16k_{23} + 80k_{24} + 228k_{25} \\
&\quad + 28k_{34} + 128k_{35} + 40k_{45}) + \beta^4(k_1 + 2k_2 + 2k_3 + 2k_4 + 2k_5) \\
&= g_{01} + g_{02}\gamma_H W + g_{03}\overline{\gamma_H} \overline{W} + g_{04}\overline{\gamma_H} \overline{W} + g_{05}\overline{\gamma_H} \overline{W} \\
g_{11} &= f_1, \quad g_{12} = f_1(2f_2 + 16f_3 + 54f_4 + 128f_5), \\
g_{13} &= f_1(7f_2f_3 + 44f_2f_4 + 135f_2f_5 + 80f_3f_4 + 448f_3f_5 + 351f_4f_5), \\
g_{14} &= f_1(26f_2f_3f_4 + 160f_2f_3f_5 + 232f_2f_4f_5 + 304f_3f_4f_5), \quad g_{15} = 97f_1f_2f_3f_4f_5, \\
g_{21} &= f_2, \quad g_{22} = f_2(11f_3 + 46f_4 - 57f_5), \\
g_{23} &= f_2(46f_3f_4 + 272f_3f_5 + 222f_4f_5), \quad g_{24} = 173f_2f_3f_4f_5, \\
g_{31} &= f_3, \quad g_{32} = f_3(-3f_2 + 26f_4 + 88f_5), \quad g_{33} = f_3(-18f_2f_4 - 90f_2f_5 + 115f_4f_5)g_{34} = -72f_2f_3f_4f_5, \\
g_{41} &= f_4, \quad g_{42} = f_4(-6f_2 - 12f_3 + 47f_5), \quad g_{43} = f_4(3f_2f_3 - 72f_2f_5 - 72f_3f_5), \quad g_{44} = 18f_2f_3f_4f_5, \\
g_{51} &= f_5, \quad g_{52} = f_5(-9f_2 - 24f_3 - 27f_4), \quad g_{53} = f_5(6f_2f_3 + 24f_2f_4 + 12f_3f_4), \quad g_{54} = -3f_2f_3f_4f_5, \\
g_{01} &= f_1 + 2f_2 + 2f_3 + 2f_4 + 2f_5, \\
g_{02} &= 2f_1f_2 + 16f_1f_3 + 54f_1f_4 + 128f_1f_5 + 16f_2f_3 + 80f_2f_4 + 228f_2f_5 + 28f_3f_4 + 128f_3f_5 + 40f_4f_5, \\
g_{03} &= 7f_1f_2f_3 + 44f_1f_2f_4 + 135f_1f_2f_5 + 80f_1f_3f_4 + 448f_1f_3f_5 + 351f_1f_4f_5 + 62f_2f_3f_5, \\
g_{04} &= 26f_1f_2f_3f_4 + 160f_1f_2f_3f_5 + 232f_1f_2f_4f_5 + 304f_1f_3f_4f_5 + 184f_2f_3f_4f_5, \\
g_{05} &= 97f_1f_2f_3f_4f_5
\end{aligned}$$

表—1

### また曲げモーメント

$$\begin{aligned}M_1 &= a(4\varphi_{15} + 3\varphi_{14} + 2\varphi_{13} + \varphi_{12})H = a\varphi_{11_1}H \\M_2 &= a(3\varphi_{15} + 2\varphi_{14} + \varphi_{13})H = a\varphi_{11_2}H \\M_3 &= a(2\varphi_{15} + \varphi_{14})H = a\varphi_{11_3}H, \quad 4 = a\varphi_{15}H \\M_5 &= 0\end{aligned}$$

$g_{ij}$  の数値を表-1 に示す。

2) 横圧  $H$  が枕木中間位置に働くときの  
算式 符号は図-6

枕木 2T  $\gamma = 0.0 \sim 0.4$  のとき

枕木 4T  $\gamma = 0.5 \sim 1$

$$B_1 \equiv \Phi_{11} \equiv H, \quad B_2 \equiv \Phi_{12}H \dots \dots \dots \quad (10)$$

$$\phi_{12} = k_1(23k_2 + 4\beta)/8A_2$$

$$\equiv (G_{11} \pm G_{12} \gamma_{11}) W / A_1$$

$$\theta_{12} = k_2(-3k_2 \pm 4\beta)/8A,$$

$$= (G_{\text{V}} + G_{\text{V}+2}, W)/4.$$

$$A_2 = 5k_2 + \theta(k_1 + k_2) = G$$

$$G = \frac{1}{2} E_6 - G_2 + \frac{33}{4} H_4 E_6 - \frac{3}{2} G_2$$

$$G_{11} = {}^1/{}_2 F_1, \quad G_{12} = {}^{\omega_3}/{}_8 F_1 F_2, \quad G_{21} = {}^1/{}_2 F_2, \quad G_{22} = -{}^{\omega_3}/{}_8 F_1 F_2.$$

$$G_{01} = F_1 + F_2, \quad G_{02} = 5F_1F_2$$

枕木 6丁  $\gamma=2\sim7$  のとき

$$\phi_{11} = k_1 \{ 91k_{23} + \beta(23k_2 + 118k_3) + 4\beta^2 \} / 8A_2$$

$$= (G_{11} + G_{12}\gamma_H W + G_{13}\gamma_H W)/A_2$$

$$\emptyset_{12} = k_2 \{ -18k_{13} + \beta(-3k_1 + 71k_3) + 4\beta^2 \} / 8A_2 = (G_{21} + G_{22}\gamma_H)V + G_{23}\gamma_H W) / A_2$$

$$\emptyset_{13} = k_3 \{15k_{12} + \beta(-6k_1 - 27k_2) + 4\beta^2\}/8, \emptyset_{12} = (G_{31} + G_{32}\gamma_H W + G_{33}\overline{\gamma_H W})/4,$$

$$A_2 = 19k_{123} + \beta(5k_{12} + 28k_{13} + 11k_{23}) + \beta^2(k_1 + k_2 + k_3) = G_{01} + G_{02}\gamma_H W + G_{03}\overline{\gamma_H W}$$

$$G_{11} = {}^1/{}_2 F_1, \quad G_{12} = {}^1/{}_8 F_1(23F_2 + 118F_3), \quad G_{13} = {}^{91}/{}_8 F_1 F_2 F_3.$$

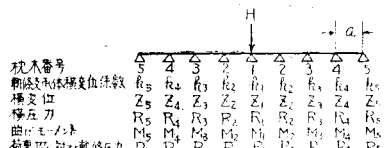
$$G_{s1} \equiv {}^1/\circ F_{s1}, \quad G_{s2} \equiv {}^1/\circ F_s(-3F_1 + 71F_2), \quad G_{s3} \equiv -{}^9/\circ F_1 F_s F_2.$$

$$G_{31} \equiv {}^{1/8}F_2, \quad G_{19} \equiv {}^{1/8}F_2(-6F_1 - 27F_3), \quad G_{22} \equiv {}^{15/8}F_1 F_2 F_3.$$

	$g_{11}$	$g_{12}$	$g_{13}$	$g_{14}$	$g_{15}$	$g_{16}$	$g_{17}$	$g_{18}$	$g_{19}$	$g_{20}$	$g_{21}$
1	106	063	013				073	043	023	003	
2	107	079	020				043	013	003		
3	107	079	013				073	013	003		
4	106	106	112	112			073	023	013	003	
5	107	106	072	17			029	033	013	003	
6	107	107	073	21			021	013	013	003	
7	107	107	074	13			026	062	154	191	-162
8	107	209	025	53			025	065	387	261	-165
9	107	207	027	61			036	159	340	283	-716
10	107	237	030	49			023	023	390	349	-885
11	107	207	057	74			0230	065	157	253	-798
12	106	256	059	77			0226	049	157	382	-166
13	106	272	059	106	28		0225	0707	453	140	-110
14	106	272	062	133	86		0233	0708	711	575	1162
15	106	319	068	200	149		0221	0706	887	911	656

<i>x</i>	<i>g<sub>1</sub></i>	<i>g<sub>2</sub></i>	<i>g<sub>3</sub></i>	<i>g<sub>4</sub></i>	<i>g<sub>5</sub></i>	<i>g<sub>6</sub></i>	<i>g<sub>7</sub></i>	<i>g<sub>8</sub></i>	<i>g<sub>9</sub></i>	<i>g<sub>10</sub></i>	<i>g<sub>11</sub></i>	<i>g<sub>12</sub></i>	<i>g<sub>13</sub></i>	<i>g<sub>14</sub></i>	<i>g<sub>15</sub></i>	<i>g<sub>16</sub></i>
1	0.564	0.379	0.017				0.013	- .96								
2	0.667	0.378	0.011				0.049	- .372								
3	0.616	0.376	0.052				0.067	- .530								
4	0.591	0.273	0.061	.13			0.057	- .111	- .2							
5	0.319	0.278	0.211	.17			0.072	- .497	.32							
6	0.332	0.270	0.152	.31			0.079	- .36	- .61							
7	0.360	0.28	0.164	.43			0.104	- .271	.98							
8	0.329	1.13	0.210	.53			0.108	- .96	- .112							
9	0.319	1.20	0.237	.61			0.111	- .33	- .133							
10	0.311	1.26	0.239	.49			0.114	- .169	- .152							
11	0.304	1.28	0.244	.74			0.116	- .263	- .170							
12	0.291	1.31	0.266	.80			0.118	- .367	- .184							
13	0.294	1.36	0.372	.06	.28		0.119	- .553	- .214	- .71						
14	0.288	1.44	0.375	.17	.94		0.121	- .827	- .256	- .220						
15	0.281	1.52	0.473	1.90	.116		0.122	- .129	- .298	- .380						

—3





$$F_{11}=0.30 \quad F_{12}=0.17 \quad F_{13}=0.06 \quad F_{14}=0.03 \\ \emptyset_{11}=0.54 \quad \emptyset_{12}=-0.03 \quad \emptyset_{13}=0.02 \quad \emptyset_{14}=0.00$$

従つて最初の材木の滑る横圧は  $H > 0.56\mu W = 4.5\mu\text{ton}$

は軌条圧力が小さいときは1に近いが軌条圧力が増大すると0.5程度にまで下る傾向が認められる。

以上と同様な解法で更に2番目の枕木も滑動する条件が求められる。

## 2 軌條の揃レ

こゝでは横圧によるトルクモーメントのため軌条が振れて犬釘を持ち上げる割合を調べ最初の犬釘が抜け出す条件を求める。

先づ軌条振れに対する枕木と犬釘の抵抗は傾斜角に比例すると考へてよいことを示す。枕木と軌条底面とのなす角を  $\theta$  とすれば  $\theta$  が小さい範囲では軌条断面の変形は無視してよい。

$E_w$ : 枕木のヤング率(繊維に直角)  $B$ : 枕木幅  $L$ : 枕木厚 その他図-7に示す如く諸量を決めれば

$$P_1 = \frac{x^2 BE\omega}{2L} \theta$$

图-7

$P_2 = (b-x)5\theta \text{ s}$ ; 犬釘の浮上りに比例する抵抗の係数

$$P_1 = P_2 \quad \text{から} \quad x_0 = (-s^2 + \sqrt{s^2 + 2E_w B_{BS}/L}) L / E_w B$$

以上によつて  $\theta$  に対する抵抗モーメントは

犬釘を持上げる力  $S$  が限度  $S_c$  を越すと犬釘は抜ける。その時

輪重を考へると上の如く簡単にはならぬが數値計算及び実験によつて、振レに対する基礎の抵抗モーメントは大体 $\theta$ に比例するとして扱つてよいことが判つた。

連続軌条の各支点に於ける振レ角は次の如く算出される。

—

1) 枕木位置にトルクメントが働くとき

図-8 で  $na \leq x \leq (n+1)a$  で考へると

軌条の振レモーメントは外から加へられたモ

## ～メントから抵抗モ～

$$G \frac{d\theta}{dt} = M - K' \Sigma \rho \quad (15)$$

$$dx - z_i \cdot$$

(15) 式を  $\theta$  は各支点位置で連続し第 5 支点では零になるといふ条件(無限遠を零と置くのが正確であるが、こ

$\lambda \equiv ka \equiv \frac{K'a}{\omega} = \frac{Ka^2}{\omega}$ : 「軌道第3係数」と定義する。

但し、 $K = K'/l_0$ ：単位長さ当たりの振れ抵抗係数

この人を傳つて次の如く書わざれる

$$\left. \begin{array}{l} \theta_0 = \frac{5+20\lambda+21\lambda^2+8\lambda^3+\lambda^4}{2+25\lambda+50\lambda^2+35\lambda^3+10\lambda^4+\lambda^5} \cdot \frac{aM}{2C} = t_0(\lambda) \frac{aM}{2C} \\ \theta_1 = \frac{4+10\lambda+6\lambda^2+\lambda^3}{2+25\lambda+50\lambda^2+35\lambda^3+10\lambda^4+\lambda^5} \cdot \frac{aM}{C} = t_1(\lambda) \frac{aM}{C} \\ \theta_2 = \frac{3+4\lambda+\lambda^2}{2+25\lambda+50\lambda^2+35\lambda^3+10\lambda^4+\lambda^5} \cdot \frac{aM}{C} = t_2(\lambda) \frac{aM}{C} \\ \theta_3 = \frac{2+\lambda}{2+25\lambda+50\lambda^2+35\lambda^3+10\lambda^4+\lambda^5} \cdot \frac{aM}{C} = t_3(\lambda) \frac{aM}{C} \\ \theta_4 = \frac{1}{2+25\lambda+50\lambda^2+35\lambda^3+10\lambda^4+\lambda^5} \cdot \frac{aM}{C} = t_4(\lambda) \frac{aM}{C} \\ \theta_5 = 0 \end{array} \right\} \quad (16)$$

$\varphi_i(\lambda)$  の数値は表-3に示す。

2) 枕木中間位置にトルクモーメントが働いたとき、同様に

$T_i(\lambda)$  の数値は表-4 に示す。

3) 抵抗が連続的であるとしたとき、枕木間隔が小さいとき及び解の性質を見るためには連続抵抗として解く。

方程式は (15) 式を変形して

上式は次式に変形される。

$$\text{ここで } n^2 = K/C$$

$\theta$  は原点対称  $x \rightarrow \pm\infty$  で  $\theta$  は有限であるから

$$\theta = \frac{M}{2\sqrt{KC}} e^{\mp \sqrt{\lambda} \frac{x}{a}} \quad \begin{cases} -: x \geq 0 \\ +: x \leq 0 \end{cases} \quad (20)$$

4) 犬釘抜け出しの条件 (14)(16)(17)(20) の各式から最初の犬釘が抜け出す限界横圧は次式から求められる。

$$\left. \begin{aligned} H_c' &= \frac{1}{t_0(\lambda)} - \frac{C}{ha} \frac{S_c}{s(b-x_0)} \cdots \text{枕木位置に } H \text{ が働く} \\ H_c'' &= \frac{1}{T_1(\lambda)} - \frac{C}{ha} \frac{S_c}{s(b-x_0)} \cdots \text{枕木中間位置に } H \text{ が働く} \\ H_c &= \frac{1}{h} \sqrt{KC} \frac{S_c}{s(b-x_0)} = \sqrt{\lambda} \frac{C}{ha} \frac{S_c}{s(b-x_0)} \cdots \text{連続抵抗} \end{aligned} \right\} \quad (21)$$

その数値は普通 4ton 程度である。

同様の解き方で第2の犬釘が抜け出す条件も求めることができる。

### III 動的强度

横圧による軌条頭部変位は振れによるものが撓みによるものゝ数倍大であるから先づ振れ振動を取上げる。微分方程式は II の (19) 式に慣性の項を加える。即ち

$$\rho I_x \frac{\partial^2 \theta}{\partial t^2} - C \frac{\partial^2 \theta}{\partial x^2} + K \theta = 0 \quad \dots \dots \dots \quad (1)$$

但し  $C$ : 軌条振れ係数  $\rho$ : 密度

$I_x$ : 軌条底にある回転中心周りの断面2次モーメント

$K$ : 単位長サ当たりの捩レ抵抗係数

1 定常狀態

### 1) 静止振動力 ( $M_0 e^{i\omega t}$ ) の作用

$\omega_0 = \sqrt{K/\rho I_x}$  と置けば

$\omega < \omega_0$  のとき

$$\theta = \frac{M_0}{2\sqrt{KC}\sqrt{1-\left(\frac{\omega}{\omega_0}\right)^2}} \exp \left[ \mp \sqrt{\lambda} \sqrt{1-\left(\frac{\omega}{\omega_0}\right)^2} \frac{x}{a} + i\omega t \right] \quad \begin{cases} x \geq 0 \\ x \leq 0 \end{cases} \quad (2)$$

表—3

$\lambda$	$t_0$	$t_1$	$t_2$	$t_3$	$t_4$
0	2.500	2.000	1.500	1.000	0.500
0.05	1.851	1.336	0.988	0.666	0.296
0.1	1.434	1.005	0.677	0.417	0.199
0.2	1.066	0.672	0.413	0.237	0.108
0.4	0.571	0.261	0.122	0.067	0.025
0.6	0.601	0.282	0.131	0.069	0.033
0.8	0.610	0.214	0.090	0.037	0.013
1.0	0.628	0.171	0.066	0.023	0.008
1.2	0.602	0.161	0.059	0.017	0.006
1.4	0.564	0.118	0.039	0.012	0.004
1.6	0.534	0.101	0.031	0.009	0.003
1.8	0.510	0.088	0.027	0.007	0.002
2.0	0.489	0.077	0.021	0.006	0.001

表—4

$\lambda$	T <sub>0</sub>	T <sub>1</sub>	T <sub>2</sub>	T <sub>3</sub>	T <sub>4</sub>
0	2250	2000	1850	1000	0.500
0.05	1716	1467	1061	0.666	0.325
0.1	1424	1173	0.791	0.487	0.232
0.2	1145	0.865	0.425	0.301	0.137
0.3	0.924	0.573	0.302	0.162	0.061
0.4	0.670	0.461	0.204	0.093	0.036
0.5	0.612	0.362	0.152	0.062	0.022
1.0	0.559	0.309	0.118	0.044	0.015
1.2	0.521	0.271	0.074	0.033	0.010
1.4	0.491	0.222	0.078	0.022	0.007
1.6	0.468	0.218	0.066	0.020	0.006
1.8	0.449	0.199	0.047	0.016	0.004
2.0	0.433	0.183	0.048	0.013	0.003

$\omega = \omega_0$  のとき

$\theta \rightarrow \infty$  共振する ..... (3)

$\omega > \omega_0$  のとき 進行波となる

$$\theta = \frac{M_0}{2\sqrt{KC}\sqrt{\left(\frac{\omega}{\omega_0}\right)^2 - 1}} i \exp \left[ \mp \sqrt{\lambda} \sqrt{\left(\frac{\omega}{\omega_0}\right)^2 - 1} \frac{x}{a} - \omega t \right] \quad \begin{cases} -x \geq 0 \\ +x \leq 0 \end{cases} \quad (4)$$

$V_0 = \omega_0/2\pi$  は、軌条の固有振れ振動数であるが表-5で見る通り相当大きいかから車輪の速度軸距から考へて、実際は  $\omega < \omega_0$  のときだけが問題になる。

2) 定速( $v$ )で移動する一定力( $M$ )の作用

(1) 式を  $\xi = x - vt$  で座標変換すると

$$\rho I_x \frac{d^2\theta}{dt^2} - 2\rho I_x \frac{\partial^2\theta}{dt\partial\xi} + (\rho I_x v^2 - C) \frac{\partial^2\theta}{d\xi^2} + K\theta = 0 \quad (5)$$

定常状態は次式から求められる。

$$\frac{d^2\theta}{d\xi^2} - \frac{n^2}{\left\{1 - \left(\frac{v}{v_0}\right)^2\right\}} \theta = 0 \quad (6)$$

但し  $v_0 = \sqrt{C/\rho I_x}$

$v < v_0$  のとき

$$\theta = \frac{M}{2\sqrt{KC}\sqrt{1 - \left(\frac{v}{v_0}\right)^2}} \exp \left[ \mp \sqrt{\frac{\lambda}{1 - \left(\frac{v}{v_0}\right)^2}} \frac{(x-vt)}{a} \right] \quad \begin{cases} -: x \geq vt \\ +: x \leq vt \end{cases} \quad (7)$$

静的に働いた力に対する変形と同様なものが  $v$  で移動する。原点の変形の静的のそれに対する比は

$$\frac{\theta_0}{\theta_{ost}} = \frac{1}{\sqrt{1 - \left(\frac{v}{v_0}\right)^2}} \quad \text{速度効果} \quad (8)$$

$v = v_0$  のとき

$\theta \rightarrow \infty$  共振する

$v > v_0$  のとき 前方に変位なしで後方に波を残す。

$$\theta = \frac{M}{\sqrt{KC}\sqrt{\left(\frac{v}{v_0}\right)^2 - 1}} \sin \left[ \sqrt{\frac{\lambda}{\left(\frac{v}{v_0}\right)^2 - 1}} \frac{(x-vt)}{a} \right] \quad \begin{cases} x \leq vt \\ x \geq vt \end{cases} \quad (9)$$

$v_0$  は軌条を伝わる振れ波の伝播速度であつて 表-6で見るよ  
うに非常に早いものであるから実用速度では  $v \ll v_0$  である。

(8)式の速度効果は図-9で見る通り殆んど1である。

## 2 衝撃による過渡状態

### 1) 変形の伝播

(1) 式は次の形に書き換えられる。

$$\frac{\partial^2\theta}{\partial t^2} - v_0^2 \frac{\partial^2\theta}{\partial x^2} + \omega_0^2\theta = 0 \quad (10)$$

この式は  $v_0$  と  $\omega_0$  が無関係である点が電信方程式と相違するが同様な数学的取扱が可能である。

原点に  $\theta = f(t)$  の変形が与えられたとき、変形の伝播は

$$\theta = f\left(t - \frac{x}{v_0}\right) - \frac{\omega_0}{v_0} x \int_0^{t - \frac{x}{v_0}} \frac{i \int_0^{\tau} J_1 \left[ \omega_0 \sqrt{(t-\tau)^2 - \left(\frac{x}{v_0}\right)^2} \right]}{\sqrt{(t-\tau)^2 - \left(\frac{x}{v_0}\right)^2}} f(\tau) d\tau \quad (11)$$

となることが証明される。

第1項は原点の変形がそのまま  $v_0$  の速度で進行することを示し第2項はそれが崩れてゆく状況を表わしている。 $t < \left|\frac{x}{v_0}\right|$  では変形がないから  $v_0$  が伝播の最高速度である。

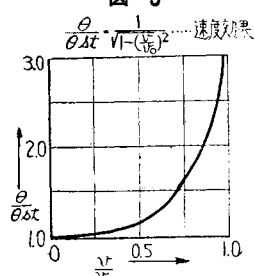
表-5

K (kg) (cm)	$V_0 = \frac{\omega_0}{2\pi} = \sqrt{\frac{K}{I_x}} v/2\pi$		
	30kg Rail (1kg/m)	37kg Rail (1kg/m)	50kg Rail (1kg/m)
20	18.1	21.9	24.0
15	-	16.2	19.0
10	-	13.8	16.7
5	-	9.4	11.6
1	-	4.1	5.1

表-6

Rail	$C (kg/cm^2)$	$P_1 (kg/cm)$	$v_0 (km/s)$
30kg	$35.2 \times 10^6$	12.1	17.80
37kg	56.6	21.9	19.20
50kg	119.0	39.2	19.65

図-9



る。此の方程式は Dispersion の波動方程式であつて、判つきりした固定端又は自由端が無いが連続的に緩く固定されているので、何れの部分からも少し宛反射がありそのために定常状態が生じうるのである。

## 2) 定速移動横圧の衝撃作用

$v$ で移動する一定力  $M$  が突然作用し  $t$  秒後の変形は原点に於いて

$$\theta_0 = \frac{M\omega_0}{2\sqrt{KC}} \int_0^t J_0 \left[ \omega_0 \sqrt{1 - \left( \frac{v}{v_0} \right)^2} \tau \right] d\tau = \frac{M}{\sqrt{KC} \sqrt{1 - \left( \frac{v}{v_0} \right)^2}} \sum_{n=0}^{\infty} J_{2n+1} \left[ \omega_0 \sqrt{1 - \left( \frac{v}{v_0} \right)^2} t \right] \quad (12)$$

$$\frac{\theta_0}{\theta_{0st}} = 2 \sum_{n=0}^{\infty} J_{2n+1} \left[ \omega_0 \sqrt{1 - \left( \frac{v}{v_0} \right)^2} t \right]$$

図-10

この比は衝撃効果を表わすもので 図-10 の如くなる。即ち定常状態に比べて最大 1.5 倍になる。

以上は典型的な外力に対して如何なる反応を示すかを調べることによつて振動体の基本性質を明らかにした。

## IV 軌条振しに対する頭底部撓みの影響

S.Timoshenko の軌条横変形理論では撓みと振れを相関的に扱つている。筆者は次の 3 つの理由から即ち

(a) 軌条支承体の横弾性は軌条垂直圧力に大きく関係する。(b) 横圧が一方軌条の頭部に作用すると、それは枕木大釘を通して他方軌条の底部に伝わる。(c) 車輪の両車輪が夫々の軌条を横に圧する方向は常に逆向きである。といふことから軌道の実際の横撓みは両軌条を平均して考えると本論文の取扱が可能でありより適合すると考える。

しかし振れに関しては当然頭底部の撓みによる影響がある。S.T. の解法は (a) を考慮しないから影響を大きく見積ることになるが、これと本論文の近似解法とを比較して見る。

### 1 端端固定軌条の振れ

今両端自由な軌条を相等しい逆向きの一対のトルクモーメント  $M_T$  で振ると、この場合振れのみを考えてよいので振れ角は

$$\theta = \frac{M_T l}{C} \quad l: \text{軌条長さ} \quad C: \text{軌条振れ係数} \quad (1)$$

ところが両端固定として中央に  $2M_T$  を働かせると、振れと同時に頭底部の撓みを考えねばならない。 $M_T$  の一部は単純な振りを他部は頭底部の撓みを起させる。前者を  $M_1$ 、後者

を  $M_2$  とすれば 図-11 で

$$M_1 = -C \frac{d\theta}{dx} \quad (2)$$

$M_2$  は  $-Qh$  で与えられる。 $Q$  は頭底部の撓みによる剪断力で  $h$  は頭底部の中心間距離である。

軌条の振れ中心 0 は軌条腹部の撓みを無視すれば

$$h_1 = \frac{hI_2}{I_1 + I_2}, \quad h_2 = \frac{hI_1}{I_1 + I_2} \quad I_1: \text{頭部断面2次モーメント} \\ I_2: \text{底部断面2次モーメント}$$

で決められ、 $Q$  は次式で与えられる。

$$Q = -EI_1 \frac{d^3 z_1}{dx^3} = -EI_1 h_1 \frac{d^3 \theta}{dx^3} \quad z_1: \text{頭部中心変位}$$

従つて

$$M_2 = -Qh = Dh^2 \frac{d^3 \theta}{dx^3} \quad D = \frac{EI_1 I_2}{I_1 + I_2} \quad (3)$$

以上によつて

$$M_T = M_1 + M_2 = -C \frac{d\theta}{dx} + Dh^2 \frac{d^3 \theta}{dx^3} \quad (4)$$

故に単位長サ当りの振れ角は

(2) Stresses in Railroad Tracks. Trans. A.S.M.E. Vol 54. p.277 (1932)

Method of Analysis of Statical and Dynamical Stresses in Rails. Proc. 2nd Int. Congr. A.M.(1927)

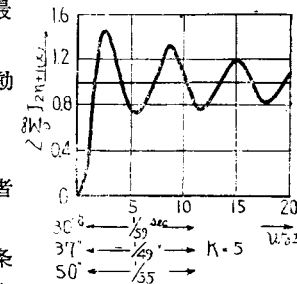
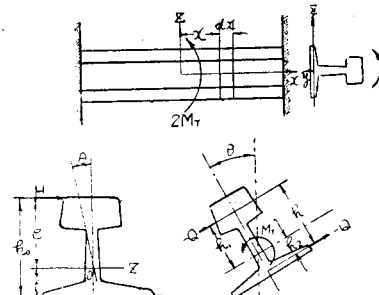


図-11



$$\frac{d\theta}{dx} = \frac{M_T}{C} (1 - e^{-\delta x}), \quad -\delta = \sqrt{\frac{C}{Dh^2}} \quad \dots \dots \dots \quad (5)$$

$$\begin{array}{lll} \text{軌条} & 30 \text{ kg}, & 37 \text{ kg}, & 50 \text{ kg}, \\ \delta \text{cm}^{-1} & 8.05 \times 10^{-2} & 8.11 \times 10^{-2} & 8.46 \times 10^{-2} \end{array}$$

## 2 軌条支承体横変位係数が一定値である軌条の振動

軌条頭部に働く  $H$  を分けて、振れ中心 0 に働く力  $H$  と 0 の周りのトルクモーメント  $Hc$  とすることが出来る。変形に対する抵抗は次の 2 種である。

- (ii) 動条底部の横変位に対して  $a = K_1(z - f_0)$

ここで  $K_2$ : 動条支承体横変位係数,  $z = 0$  の横変位

(4) 式を使って方程式は

境界条件は

$$x=0 \quad -\frac{dz}{dx}=0, \quad \frac{d\theta}{dx}=0, \quad EI \frac{d^3z}{dx^3} = \frac{1}{2}H, \quad -C \frac{d\theta}{dx} + Dh^2 \frac{d^3\theta}{dx^3} = \frac{1}{2}He \\ x \rightarrow \pm \infty \quad z \rightarrow 0 \quad \theta \rightarrow 0 \quad ) \quad (8)$$

解は  $x \leq 0$  で

$$\theta = L_1 e^{-\alpha_1 x} + L_2 e^{-\alpha_2 x} + M e^{-\beta x} \sin \delta x + N e^{-\delta x} \cos \delta x \dots$$

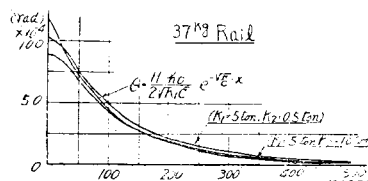
$$z = (L_1'e^{-\alpha_1 x} + L_2'e^{-\alpha_2 x} + M'e^{-\beta x} \sin \delta x + N'e^{-\beta x} \cos \delta x) / h f \dots \quad (10)$$

$\alpha_1, \alpha_2, \beta, \delta$  は表-7に示す。近似解との比較は図-12で示す。

卷一



Rail	$L_1 \times 10^3$	$L_2 \times 10^3$	$\beta \times 10^3$	$\delta \times 10^3$
$K_1 = 10^3$	30	79.3	8.43	30.5
$K_2 = 10^3$	37	80.3	3.46	27.6
	50	84.3	1.00	24.1
$K_1 = 1$	30	79.7	7.07	24.8
	37	80.7	5.02	22.7
	50	84.4	4.80	20.1
$K_1 = 5$	30	78.6	11.83	30.7
	37	79.8	9.22	27.1
	50	84.1	7.75	24.0
$K_1 = 5$	30	79.1	11.62	25.5
	37	80.1	8.72	23.4
	50	84.2	6.08	19.5
$K_1 = 10$	30	77.6	17.20	30.8
	37	79.2	13.82	27.5
	50	83.8	8.19	24.1
$K_1 = 10$	30	78.1	17.18	25.5
	37	79.6	13.56	23.1
	50	84.0	7.14	20.3
$K_2 = 0.5$	30	78.1	17.18	24.6
	37	79.6	13.56	22.3
	50	84.0	7.14	19.5



V 結 言

以上によつて軌道横強度を計算する方法が求められた。主な事項を擧げると

- (1) 横圧分布は輪重分布に比べて集中性が2~3倍になる。
  - (2) 急速な通り狂いの発生を防止するには枕木の横方向の抵抗を大にすることが必要である。軌条支材有効説は無根拠。
  - (3) 犬釘抜け上りを防止するには螺釘特に頭にバネをつけた強

性犬釘が理想的である。普通犬釘のときは横圧 4ton 位で抜ける。

- (4) タイプレートも有効であるが余り頑丈にして抵抗係数を大きくすると力が作用点に集中して軌条頸に傷を生ずる。

今後さらに実験的並に理論的に研究を進める考え方である。